

# ВЫЧИСЛИТЕЛЬНЫЕ СИСТЕМЫ

Сборник трудов  
Института математики СО АН СССР

1967 г.

Выпуск 27

## ОПТИМИЗАЦИЯ ПАРАМЕТРОВ УСИЛИТЕЛЯ-ФОРМИРОВАТЕЛЯ

В.К. Королев

В работе рассматривается применение методов возможных направлений для оптимизации параметров динамических систем. В качестве примера выбрана одна из схем вычислительной техники - усилитель-формирователь. Функцией цели служит функционал на множестве движений, ограничения на параметры заданы в виде двусторонних неравенств. Отыскивается локальный минимум функции цели. Расчет проводится численно на ЭЦВМ "М-20".

### I. Усилитель-формирователь (УФ)

УФ предназначен для формирования импульсов определенной амплитуды и длительности при подаче на вход УФ ступенчатого сигнала. Электрическая схема УФ приведена на рис. Ia. С учетом схемы замещения полупроводникового триода, взятой из [1], эквивалентная схема УФ имеет вид, представленный на рис. Ib.

Выпишем уравнения Кирхгофа для схемы рис. Ib.

Уравнения для контуров:

$$\begin{aligned} & (\varepsilon_1 + \varepsilon_2) i_2 + \varepsilon_3 i_2 + u_4 = u + u_3; \quad C \frac{du_4}{dt} = i_4; \\ & \varepsilon_4 i_3 - u_4 = 0; \\ & u_4 + \varepsilon_3 i_2 + \varepsilon_5 i_6 = E + u_3; \\ & L \frac{du_5}{dt} - \varepsilon_5 i_6 = 0. \end{aligned}$$

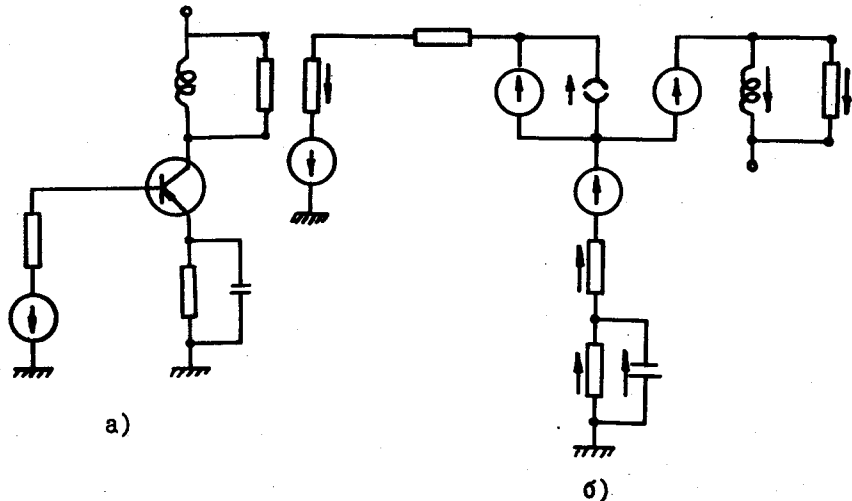


Рис. I

Уравнения для узлов:

$$i_1 = i_3' + i_3'', \quad i_2 = i_4' + i_4'', \quad i_k = i_5' + i_6''.$$

Сопротивление  $r_2$  - переменное [I] :

$$r_2 = \frac{r_0}{1 + \alpha Q}, \quad r_0 \text{ и } \alpha \text{ - постоянные, } Q \text{ - заряд.}$$

Выражения для токов  $i_3'$ ,  $i_3''$  и  $i_k$  [I] :

$$i_3' = \lambda_1 Q + \lambda_2 Q^2, \quad i_3'' = \frac{dQ}{dt}, \quad i_k = \lambda_k Q,$$

$\lambda_1$ ,  $\lambda_2$  и  $\lambda_k$  - постоянные.

Переменная индуктивность  $L$  в пределах изменения тока  $i_3$  аппроксимируется линейной функцией:

$$L = L_0 - \mu i_3, \quad L_0 \text{ и } \mu \text{ - постоянные.}$$

На вход схемы, находящейся в покое при  $t < 0$ , поступает ступенчатый сигнал с передним фронтом  $\tau_1$  и амплитудой  $U_0$  (рис. 3). На выходе получается импульс трапециевидной формы (рис. 3, кривые  $U_o(t)$  и  $\dot{U}(t)$ ), описываемый следующим выражением:

$$U(t) = \begin{cases} \tau_5 i_6, & \text{если } \tau_5 i_6 < E + U_0 - U_4 - \tau_3 i_2 \text{ (триод не насыщен),} \\ E + U_0 - U_4 - \tau_3 i_2 & \text{в противном случае.} \end{cases}$$

Работа схемы рассматривается на конечном интервале времени  $t \in [0, T]$ .

Сравнение экспериментальных выходных функций с функциями, полученными в результате численного счета, дало хорошее совпадение. Поэтому для всех дальнейших расчетов используется система уравнений (I), полученная из выписанных выше уравнений Кирхгофа.

## 2. Постановка задачи оптимизации

Задача ставится следующим образом. Пусть задана требуемая форма выходного сигнала  $u^*(t)$  (см. рис. 3). Нужно выбрать параметры схемы так, чтобы минимизировать уклонение выходной функции УФ от заданной. При этом часть параметров схемы известна, на другую часть наложены двусторонние ограничения.

В качестве меры уклонения одной функции от другой берется функционал вида:

$$F = \int_0^T [u(t) - u^*(t)]^2 dt,$$

представляющий квадрат расстояния между элементами  $u(t)$  и  $u^*(t)$  в пространстве  $L_2$ .

Заданными параметрами УФ будут:

$$u_0, r_0, \alpha, \mu, u_3, r_3, \lambda_k, E, \lambda_1, \lambda_2, \text{ и } r_5,$$

оптимизируемыми -

$$r_4, r_6, L_0 \text{ и } C.$$

Введем следующие обозначения.

Заданные параметры:

$$\begin{aligned} \alpha_0 &= u_0, \quad \alpha_1 = r_0, \quad \alpha_2 = \alpha, \quad \alpha_3 = \mu, \quad \alpha_4 = u_3, \\ \alpha_5 &= r_3, \quad \alpha_6 = \lambda_k, \quad \alpha_7 = V. \quad (\text{амплитуда функции } u^*(t)), \\ \alpha_8 &= E, \quad \alpha_9 = \lambda_1, \quad \alpha_{10} = \lambda_2, \quad \alpha_{11} = r_5. \end{aligned}$$

Оптимизируемые параметры:

$$x_1 = \alpha_1, x_2 = 1/\alpha_4, x_3 = L_0, x_4 = 1/C.$$

"Конечные" переменные:

$$z_1 = U_{Bx}, z_2 = z_2, z_3 = i_1, z_4 = i_2, z_5 = i_4,$$

$$z_6 = i_6, z_7 = L, z_8 = U, z_9 = U^*.$$

"Дифференциальные" переменные:

$$y_1 = U_4, y_2 = i_5, y_3 = Q.$$

Кроме того, к системе уравнений Кирхгофа присоединим еще одно дифференциальное уравнение, служащее для определения значения функционала  $F$ :

$$\frac{dy_0}{dt} = (U - U^*)^2 \equiv (z_8 - z_9)^2, y_0(t=0) = 0.$$

Легко видеть, что  $F = y_0(t=T)$ .

Выпишем окончательный вид исходной системы уравнений:

$$\left. \begin{aligned} z_1 &= \begin{cases} \frac{\alpha_0 t}{t_1}, & 0 \leq t \leq t_1, \\ \alpha_0, & t_1 \leq t \leq T; \end{cases} \\ z_2 &= \frac{\alpha_1}{1 + \alpha_2 y_3}; \\ z_3 &= \frac{z_1 + \alpha_4 - y_1 - \alpha_5 \alpha_6 y_3}{x_1 + z_2 + \alpha_6}; \\ z_4 &= \frac{z_1 + \alpha_4 - y_1 + (x_1 + z_2) \alpha_6 y_3}{x_1 + z_2 + \alpha_6}; \\ z_5 &= z_3 - x_2 y_1 + \alpha_6 y_3; \end{aligned} \right\}$$

$$z_6 = z_3 - x_2 y_1 + \alpha_6 y_3;$$

$$z_6 = \alpha_6 y_3 - y_2;$$

$$z_7 = z_3 - \alpha_5 y_2;$$

$$z_8 = \begin{cases} \alpha_{11} z_6, & \text{если } \alpha_{11} z_6 \leq \alpha_4 + \alpha_8 - y_1 - \alpha_5 z_4, \\ \alpha_4 + \alpha_8 - y_1 - \alpha_5 z_4 & \text{в противном случае,} \end{cases}$$

$$z_9 = \begin{cases} \frac{\alpha_7 t}{\varepsilon_1}, & 0 \leq t \leq \varepsilon_1, \\ \alpha_7, & \varepsilon_1 \leq t \leq \varepsilon_2, \\ \frac{\alpha_7(T-t)}{T - \varepsilon_2}, & \varepsilon_2 \leq t \leq T; \end{cases}$$

$$\frac{dy_0}{dt} = (z_8 - z_9)^2;$$

$$\frac{dy_1}{dt} = x_4 z_5;$$

$$\frac{dy_2}{dt} = \frac{\alpha_{11} z_6}{z_7}$$

$$\frac{dy_3}{dt} = z_3 - \alpha_9 y_3 - \alpha_{10} y_3^2.$$

Начальные условия нулевые:

$$y_0(0) = y_1(0) = y_2(0) = y_3(0) = 0.$$

Ограничения на параметры:

$$x_j' \leq x_j \leq x_j'', j=1, \dots, 4.$$

Заметим, что "конечные" переменные  $x_i$  не исключены из правых частей дифференциальных уравнений во избежание громоздких выражений при вычислении  $\text{grad } F$ .

Правые части системы (I) – непрерывные функции своих аргументов. Функции  $z_i$  и  $z_9$  имеют разрывные производные по  $t$ ,  $z_8$  – по параметрам (разрывы первого рода); остальные функции непрерывно дифференцируемы по всем аргументам.

Итак, мы будем решать следующую задачу нелинейного программирования: найти

$$\min \{F(x) \mid F(x) = y_0(t=T, x)\} \quad (2)$$

при ограничениях

$$X = \{x | x^T = (x_1, \dots, x_n), x' \leq x \leq x''\} \quad (3)$$

Методы решения таких задач разработаны для выпуклых функций и областей. Здесь область (3) выпукла, но исследование функции  $F(x)$ , определяемой численно, затруднительно. Тогда общие методы гарантируют нахождение лишь локального минимума.

### 3. Решение задачи оптимизации

Задача оптимизации решается методом возможных направлений [2]; применяется (как наиболее простой) алгоритм Р2 с нормализацией 5. Он представляет собой итеративный процесс.

3.1. Задается начальная точка  $x^0 \in X$ . Каждый шаг приближений состоит из этапов:

3.2. Выбор подходящего возможного направления. Направление  $s$  в точке  $x$  называется возможным, если малое перемещение из  $x$  в этом направлении не выводит за пределы допустимой области. Возможное направление  $s$  называется подходящим, если при этом происходит убывание функции цели, т.е.

$$\frac{\partial F(x + \lambda s)}{\partial x} \Big|_{\lambda=0} = g(x)^T s < 0 \quad (g(x) = \text{grad } F(x)).$$

Если в допустимой точке  $X$  не существует подходящего возможного направления, то  $F(x)$  в этой точке достигает минимума (см. [2], теорема 4. п. 2.6.).

Отыскивается наилучшее из подходящих возможных направлений, что достигается решением следующей задачи линейного программирования: найти

$$\min \{g(x^k)^T s | x^k \leq x^k + s \leq x^k\}$$

(о вычислении  $g(x)$  см. п. 4).

Решение этой задачи в силу простоты ограничений выписывается сразу:

$$\begin{aligned} s_j &= 0 && \text{если } g_j(x^k) = 0, \\ s_j &= x_j'' - x_j^k && \text{если } g_j(x^k) < 0, \\ s_j &= x_j' - x_j^k && \text{если } g_j(x^k) > 0. \end{aligned}$$

\* Значок  $T$  означает транспонирование вектора-столбца.

Если  $\min g(x^k)^T s < 0$ , то подходящее возможное направление найдено и делается шаг в направлении  $s^k = s$ . Если же  $\min g(x^k)^T s \geq 0$ , т.е. в точке  $x^k$  нет подходящего возможного направления, то  $x^k$  — оптимальная точка для функции  $F(x)$ . Случай  $g(x^k)^T s = \infty$  исключается из-за ограниченности области  $X$  и  $\text{grad } F(x)$ .

3.3. Определение длины шага состоит в нахождении корня уравнения

$$g(x^k + \lambda s^k)^T s^k = 0 \quad (4)$$

на отрезке  $0 \leq \lambda \leq 1$  ( $x^k$  и  $s^k$  — известные векторы), которое представляет собой условие касания поверхности уровня функции  $F(x)$  и вектора  $s^k$ . Нас устраивает любой из корней, поскольку мы ищем локальный минимум. Если на отрезке  $[0, 1]$  нет корня, то длина шага берется равной 1.

Точка  $x^k + \lambda_k s^k$  доставляет минимум функции  $F(x)$  на направлении  $s^k$ . В первом случае ( $\lambda_k = \lambda''$  — корень уравнения (4)) минимум достигается внутри того многообразия, которому принадлежит точка  $x^k$ , во втором случае ( $\lambda_k = 1$ ) мы выходим на границу:  $x^k + \lambda_k s^k = x^k + 1(x'' - x^k) = x''$  или  $x^k + \lambda_k s^k = x^k + 1(x' - x^k) = x'$  (о решении уравнения (4) см. п. 5).

3.4. Определяются  $x^{k+1} = x^k + \lambda_k s^k$  и  $F(x^{k+1})$ .

3.5. Проверка критерия оптимальности распадается на две, одна из которых осуществляется на 2-м этапе (отсутствие в точке  $x^k$  подходящего возможного направления); вторая состоит в проверке выполнения неравенства

$$F(x^k) - F(x^{k+1}) < \epsilon,$$

означающего достижение минимума с заданной точностью  $\epsilon$ . Если оно выполняется, то процесс решения прекращается, если нет, то повторяется с 3.2.

### 4. Вычисление $\text{grad } F(x)$

Это вычисление требуется при выборе подходящего возможного направления и при решении уравнения (4).

Пусть нужно вычислить вектор  $g(x) = \text{grad } F(x)$

при некотором значении  $x$ .

Запишем исходную систему уравнений в общем виде:

$$\begin{cases} z_i = \varphi_i(t, z, y, x), & i \in I; \\ \frac{dy_k}{dt} = f_k(z, y, x), & k \in K, \quad y_k(0) = 0. \end{cases}$$

Дифференцируя эти уравнения по параметрам  $x_j$ , получаем систему уравнений в вариациях (см. [3]):

$$\begin{cases} \frac{\partial z_i}{\partial x_j} = \sum_{\varepsilon} \frac{\partial \varphi_i}{\partial z_{\varepsilon}} \frac{\partial z_{\varepsilon}}{\partial x_j} + \sum_s \frac{\partial \varphi_i}{\partial y_s} \frac{\partial y_s}{\partial x_j} + \frac{\partial \varphi_i}{\partial x_j}, \\ \frac{d}{dt} \frac{\partial y_k}{\partial x_j} = \sum_{\varepsilon} \frac{\partial f_k}{\partial z_{\varepsilon}} \frac{\partial z_{\varepsilon}}{\partial x_j} + \sum_s \frac{\partial f_k}{\partial y_s} \frac{\partial y_s}{\partial x_j} + \frac{\partial f_k}{\partial x_j}, \quad \frac{\partial y_k}{\partial x_j}(0) = 0. \end{cases}$$

Очевидно, что

$$\frac{\partial F}{\partial x_j} = \frac{\partial y_0}{\partial x_j} \quad (t=7).$$

Таким образом, проинтегрировав систему уравнений в вариациях, мы получим в качестве значений компонент вектора  $y(x)$  значения производных  $\frac{\partial y_0}{\partial x_j}$  на правом конце интервала интегрирования.

Система уравнений в вариациях, соответствующая уравнениям  $\Psi(I)$ , имеет вид:

$$\left. \begin{array}{l} \frac{\partial z_1}{\partial x_j} = 0; \\ \frac{\partial z_2}{\partial x_j} = -\frac{\alpha_1}{(1+\alpha_2 y_3)^2} \frac{\partial y_3}{\partial x_j}; \\ \frac{\partial z_3}{\partial x_j} = \frac{1}{(x_1+z_2+\alpha_5)^2} \left[ (x_1+z_2+\alpha_5) \left( \frac{\partial z_1}{\partial x_j} - \frac{\partial y_1}{\partial x_j} - \alpha_5 \alpha_6 \frac{\partial y_3}{\partial x_j} \right) - \right. \\ \left. - (z_1+\alpha_4-y_1-\alpha_3 \alpha_6 y_3) \left( \frac{\partial x_1}{\partial x_j} + \frac{\partial z_2}{\partial x_j} \right) \right]; \end{array} \right\}$$

$$\begin{aligned} \frac{\partial z_4}{\partial x_j} = & \frac{1}{(x_1+z_2+\alpha_5)^2} \left\{ (x_1+z_2+\alpha_5) \left[ \frac{\partial z_1}{\partial x_j} - \frac{\partial y_1}{\partial x_j} + \alpha_6 y_3 \left( \frac{\partial x_1}{\partial x_j} + \frac{\partial z_2}{\partial x_j} \right) + \right. \right. \\ & \left. \left. + (x_1+z_2) \alpha_6 \frac{\partial y_3}{\partial x_j} \right] - \left[ z_1 + \alpha_4 - y_1 + (x_1+z_2) \alpha_6 y_3 \right] \left( \frac{\partial x_1}{\partial x_j} + \frac{\partial z_2}{\partial x_j} \right) \right\}; \end{aligned}$$

$$\frac{\partial z_5}{\partial x_j} = \frac{\partial z_3}{\partial x_j} - \frac{\partial x_2}{\partial x_j} y_1 - x_2 \frac{\partial y_1}{\partial x_j} + \alpha_6 \frac{\partial y_4}{\partial x_j};$$

$$\frac{\partial z_6}{\partial x_j} = \alpha_6 \frac{\partial y_1}{\partial x_j} - \frac{\partial y_2}{\partial x_j};$$

$$\frac{\partial z_7}{\partial x_j} = \frac{\partial x_3}{\partial x_j} - \alpha_6 \frac{\partial y_2}{\partial x_j};$$

$$\frac{\partial z_8}{\partial x_j} = \begin{cases} \alpha_{11} \frac{\partial z_6}{\partial x_j}, & \text{если } \alpha_{11} z_6 \leq \alpha_4 + \alpha_6 - y_1 - \alpha_5 z_4, \\ -\frac{\partial y_1}{\partial x_j} - \alpha_5 \frac{\partial z_4}{\partial x_j} & \text{в противном случае,} \end{cases}$$

$$\frac{\partial z_9}{\partial x_j} = 0;$$

$$\frac{d}{dt} \frac{\partial y_0}{\partial x_j} = 2(z_8 - z_9) \left( \frac{\partial z_8}{\partial x_j} - \frac{\partial z_9}{\partial x_j} \right);$$

$$\frac{d}{dt} \frac{\partial y_1}{\partial x_j} = z_5 \frac{\partial x_4}{\partial x_j} + x_4 \frac{\partial z_4}{\partial x_j};$$

$$\frac{d}{dt} \frac{\partial y_2}{\partial x_j} = \frac{1}{z_7^2} \left( \alpha_{11} \frac{\partial z_6}{\partial x_j} z_7 - \alpha_{11} z_6 \frac{\partial z_7}{\partial x_j} \right);$$

$$\frac{d}{dt} \frac{\partial y_3}{\partial x_j} = \frac{\partial z_3}{\partial x_j} - \alpha_9 \frac{\partial y_4}{\partial x_j} - 2\alpha_{10} y_3 \frac{\partial y_4}{\partial x_j}.$$

Начальные условия нулевые:

$$\frac{\partial y_0}{\partial x_j}(0) = \dots = \frac{\partial y_3}{\partial x_j}(0) = 0.$$

### 5. Решение уравнения (4)

Оно проводится численно методом Вегстейна (см., например, [6]).

Уравнение (4) преобразуется к виду:  $\lambda = \Psi(\lambda)$ ,

где

$$\psi(\lambda) = \lambda + \alpha \sum, \quad \sum = g(x^k + \lambda s^k)^T s^k, \quad \alpha - \text{не-} \\ \text{которая постоянная (см. ниже).}$$

Вые интервала  $[0, 1]$  функция  $\psi(\lambda)$  продолжается непрерывно и полагается равной постоянным:

$$\psi(\lambda) = \begin{cases} \psi(0), & \lambda < 0 \\ \psi(1), & \lambda > 1. \end{cases}$$

Коэффициент  $\alpha$  выбирается из условия, чтобы ординаты функции  $\alpha g^T s^k$  были одного порядка со значениями  $\lambda \in [0, 1]$ , например:

$$\alpha = \frac{1/2}{g(x^k)^T s^k}.$$

Так как всегда  $g(x^k)^T s^k < 0$  (см. п. 3.2), то  $\alpha < 0$  и  $\psi(0) > 0$ .

## 6. Общая блок-схема задачи

Последняя представлена на рис. 2. Пояснения к блок-схеме:

Блок  $H$  - блок выбора шага интегрирования  $h$  исходной системы.

Блок  $F$  - блок счета функции  $F(x)$ .

Блок  $S$  - блок выбора подходящего возможного направления  $s$ .

Блок  $G$  - блок счета компонент вектора  $\text{grad } F(x)$ .

Блок  $\Lambda$  - блок отделения корня  $\lambda$  уравнения (4).

Блок  $V$  - блок решения уравнения (4) методом Вегстейна.

Блок  $\varepsilon$  - блок проверки критерия оптимальности.

Блок  $\Pi$  - блок печати результатов.

## 7. Пояснения к отдельным блокам

Блок  $H$ . Так как интегрирование дифференциальных уравнений проводится с постоянным шагом, то необходимо, что бы этот шаг не был слишком малым (для экономного расходования машинного времени) и не слишком большим (для обеспечения требуемой точности при интегрировании). Оптимальная величина шага  $h$  выбирается так. Интегрируется исходная система с некоторым исходным значением  $h = h_0$ , затем с шагом  $h = h_0/2$ . Находится относительная погрешность:

$$\frac{F - \phi}{\frac{1}{2}(F + \phi)}$$

( $F$  и  $\phi$ -значения  $y_i(t=T)$  для двух последовательных значений  $h$ ) и сравнивается с заданным числом  $\varepsilon$ . Если точность удовлетворительна, то запоминается признак I, шаг удваивается и система снова интегрируется. Если же точность неудовлетворительна, то запоминается признак 2, шаг делится пополам и интегрирование системы повторяется. Каждый раз проверяется сумма признаков. Как только её значение станет равным 3, оптимальная величина шага считается выбранной: это то последнее значение  $h$ , при котором достигалась требуемая точность.

Блок  $F$  вычисляет функцию  $F(x)$  путем интегрирования системы уравнений (1) по методу Рунге-Кутта с постоянным шагом.

Блок  $S$  после обращения на  $G$  в зависимости от значений компонент вектора  $g$  выбирает в точке  $x^k$  подходящее возможное направление. Подсчитывается скалярное произведение  $g^T s = \sum g_i s_i$ . К блоку  $s$  происходит обращение для счета  $g^T s$  из блоков  $\Lambda$  и  $V$ . При этом вычисление компонент вектора  $s$  обходится.

Блок  $G$  организован аналогично блоку  $F$ . Систему уравнений в вариациях приходится интегрировать совместно с исходной системой и столько раз, сколько оптимизируемых параметров. "Стандартная" часть системы, т.е. та, что не содержит "добавок" - членов с величинами  $\partial x_i / \partial \lambda_j$  (см. систему (5)) - программируется один раз. "Добавки" вычисляются последовательно и расставляются на свои места в системе.

Блок  $\Lambda$  вычисляет значение  $\Sigma = g^T s$  на правом конце интервала  $\lambda \in [0, 1]$ . Если  $\Sigma = 0$ , блок  $\Lambda$  обходится; при  $\Sigma > 0$  начинает работать блок  $V$  с исходным значением  $\lambda = 1$ . Если  $\Sigma < 0$ ,

то интервал  $[0, I]$  делится пополам, снова вычисляется  $\Sigma$ , и при  $\Sigma < 0$  дробление интервала продолжается. Если при этом дроблении в некоторой точке получится  $\Sigma > 0$ , то с соответствующим значением  $\lambda$  идет обращение к блоку  $V$ . Максимально допустимое число дроблений задано ( $N$ ). Если после  $N$  дроблений не появилось положительного значения  $\Sigma$ , то блок  $\Lambda$  передает управление дальше и полагает  $\lambda = I$ .

Блок  $V$  вначале осуществляет две простые итерации

$$\lambda_{z+1} = \psi(\lambda_z),$$

а затем уточняет значение  $\lambda_{z+1}$  (см. [6], "Метод Вегстейна"). Если при этом знаменатель в выражении  $\bar{\lambda}_{z+1}$  оказывается равным нулю, то текущее значение  $\lambda$  берется за начальное и повторяется вторая простая итерация. Если достигается требуемая точность при вычислении корня, то управление передается блоку  $\varepsilon$ , в противном случае итеративный процесс продолжается.

Блок  $\varepsilon$  считает новую рабочую точку  $x^k + \lambda s^k$ , оценивает два последовательных значения функции цели  $\Phi = F^k$  и  $F = F^{k+1}$  и – в зависимости от достигнутой точности – передает управление либо на блок  $\Pi$ , либо на продолжение итераций (блок  $s$ ). К первой части блока  $\varepsilon$  происходит обращение из других блоков:  $\Lambda$  и  $V$ .

Блок  $\Pi$  производит печать значений  $F$ ,  $\vartheta$ , кривой  $z(t)$  и останов машины.

#### Числовой пример

Программа по описанному методу составлена для ЭЦВМ "М-20".

Просчитан следующий вариант схемы. Исходные данные:

$\alpha_0 = u_0 = 2$  в,  $\alpha_1 = z_0 = 60$  ом;  $\alpha_2 = \omega = 3 \cdot 10^8$  ом/в.сек,  
 $\alpha_3 = \mu = 0,36 \cdot 10^{-2}$  гн/в,  $\alpha_4 = u_0 = 0,2$  в,  $\alpha_5 = z_3 = 8,3$  ом,  
 $\alpha_6 = \lambda_k = 0,526 \cdot 10^7$  сек $^{-1}$ ,  $\alpha_7 = v_0 = 6,75$  в;  
 $\alpha_8 = E = 8$  в;  $\alpha_9 = \lambda_1 = 2,5 \cdot 10^5$  сек;  $\alpha_{10} = \lambda_2 = 0,363 \cdot 10^{14}$  а $\cdot$ сек,  
 $\alpha_{11} = z_5 = 430$  ом;

$t_1 = 0,2 \cdot 10^{-6}$  сек;  $\varepsilon_1 = 0,3 \cdot 10^{-6}$  сек;  $t_2 = 1,5 \cdot 10^{-6}$  сек;  
 $T = 2 \cdot 10^{-6}$  сек.

Ограничения на переменные:

$100 \leq x_1 = z_1 \leq 200$  (ом);  $0,005 \leq x_2 = I/z_2 \leq 0,05$  (ом $^{-1}$ );

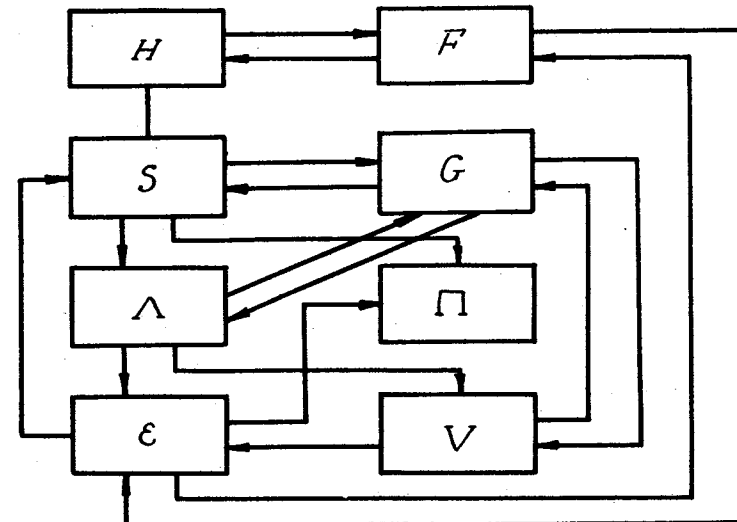


Рис. 2

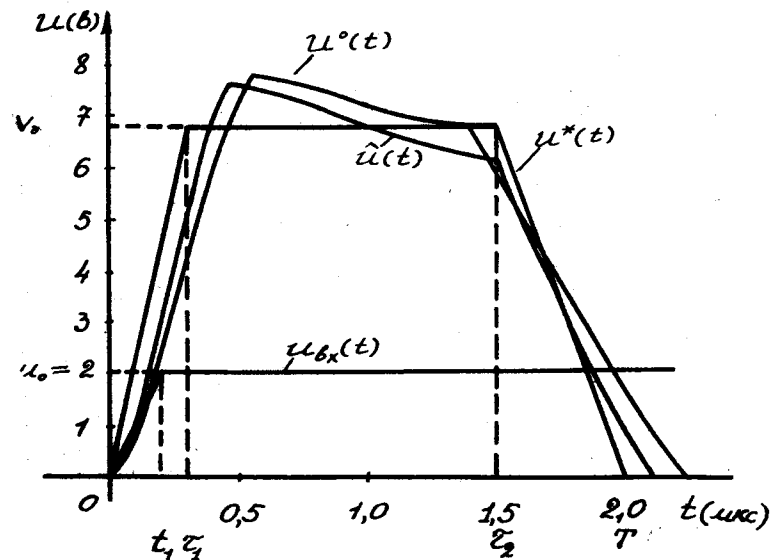


Рис. 3

$$0,3 \cdot 10^{-3} \leq x_3 = L_o \leq 0,8 \cdot 10^{-3} \text{ (Гн)}; 20 \cdot 10^6 \leq x_4 = I/C \leq 200 \cdot 10^6 \text{ (Ф}^{-1}\text{).}$$

Исходная допустимая точка:

$$x_1 = 150; x_2 = 0,01; x_3 = 0,43 \cdot 10^{-3}, x_4 = 0,366 \cdot 10^8.$$

Значение функции цели в исходной точке:  $F(x^*) = 0,185 \cdot 10^{-5}$ .

Оптимальные значения параметров, полученные в результате счета:

$$\hat{x}_1 = 122; \hat{x}_2 = 0,00724; \hat{x}_3 = 0,577 \cdot 10^{-3}; \hat{x}_4 = 0,47 \cdot 10^8.$$

Значение функции цели в оптимальной точке:  $\hat{F}(x^*) = 0,106 \cdot 10^{-5}$ .

Кривые, соответствующие выходной функции для исходных и оптимальных значений параметров, приведены на рис. 3.

Задача предложена А.И. Мининым. Необходимые экспериментальные данные представлены Л.Б. Головановой. Составление программы и счет проведены Е.И. Невзоровой. Всем им автор выражает свою благодарность.

#### ЛИТЕРАТУРА

1. К. Венцес, И.Гурвич. Расчет переходных процессов в схемах на плоскостных полупроводниковых триодах. -БРЭ, сер. УП, 1966, вып. 5, стр. 91-101.
2. Г. Зойтендайк. Методы возможных направлений, ИЛ., М., 1963.
3. Л.С. Понtryгин. Обыкновенные дифференциальные уравнения М, "Наука", 1965.
4. Дж. Н.Ланс. Численные методы для быстродействующих вычислительных машин. И., ИЛ, 1962.

Поступила в редакцию  
10/III-1967г.